

Starkniederschlagshöhen und -spenden gemäß KOSTRA-DWD-2020

Rasterfeld 217171

(Zeile 217, Spalte 171)

Regenspende und Bemessungsniederschlagswerte in Abhängigkeit von Wiederkehrzeit T und Dauerstufe D

| Dauerstufe D | | Wiederkehrzeit T | | | | | | | | | | | | | | | | | |
|--------------|-----|------------------|------------|-------|------------|-------|------------|-------|------------|-------|------------|-------|------------|-------|------------|-------|------------|-------|------------|
| | | 1 a | | 2 a | | 3 a | | 5 a | | 10 a | | 20 a | | 30 a | | 50 a | | 100 a | |
| min | Std | mm | l / (s ha) | mm | l / (s ha) | mm | l / (s ha) | mm | l / (s ha) | mm | l / (s ha) | mm | l / (s ha) | mm | l / (s ha) | mm | l / (s ha) | mm | l / (s ha) |
| 5 | | 8,4 | 280,0 | 10,2 | 340,0 | 11,2 | 373,3 | 12,7 | 423,3 | 14,7 | 490,0 | 16,8 | 560,0 | 18,2 | 606,7 | 20,0 | 666,7 | 22,6 | 753,3 |
| 10 | | 11,0 | 183,3 | 13,2 | 220,0 | 14,6 | 243,3 | 16,5 | 275,0 | 19,1 | 318,3 | 21,9 | 365,0 | 23,7 | 395,0 | 26,0 | 433,3 | 29,4 | 490,0 |
| 15 | | 12,7 | 141,1 | 15,4 | 171,1 | 17,0 | 188,9 | 19,1 | 212,2 | 22,2 | 246,7 | 25,4 | 282,2 | 27,5 | 305,6 | 30,2 | 335,6 | 34,2 | 380,0 |
| 20 | | 14,1 | 117,5 | 17,1 | 142,5 | 18,9 | 157,5 | 21,3 | 177,5 | 24,7 | 205,8 | 28,2 | 235,0 | 30,6 | 255,0 | 33,6 | 280,0 | 38,0 | 316,7 |
| 30 | | 16,4 | 91,1 | 19,8 | 110,0 | 21,9 | 121,7 | 24,6 | 136,7 | 28,6 | 158,9 | 32,7 | 181,7 | 35,4 | 196,7 | 38,9 | 216,1 | 44,0 | 244,4 |
| 45 | | 19,0 | 70,4 | 22,9 | 84,8 | 25,3 | 93,7 | 28,5 | 105,6 | 33,1 | 122,6 | 37,9 | 140,4 | 41,0 | 151,9 | 45,1 | 167,0 | 50,9 | 188,5 |
| 60 | 1 | 21,0 | 58,3 | 25,4 | 70,6 | 28,1 | 78,1 | 31,6 | 87,8 | 36,7 | 101,9 | 42,0 | 116,7 | 45,4 | 126,1 | 50,0 | 138,9 | 56,4 | 156,7 |
| 90 | 1,5 | 24,3 | 45,0 | 29,3 | 54,3 | 32,5 | 60,2 | 36,6 | 67,8 | 42,5 | 78,7 | 48,5 | 89,8 | 52,5 | 97,2 | 57,7 | 106,9 | 65,2 | 120,7 |
| 120 | 2 | 26,9 | 37,4 | 32,5 | 45,1 | 36,0 | 50,0 | 40,5 | 56,3 | 47,0 | 65,3 | 53,8 | 74,7 | 58,2 | 80,8 | 64,0 | 88,9 | 72,3 | 100,4 |
| 180 | 3 | 31,1 | 28,8 | 37,6 | 34,8 | 41,6 | 38,5 | 46,8 | 43,3 | 54,4 | 50,4 | 62,2 | 57,6 | 67,3 | 62,3 | 73,9 | 68,4 | 83,5 | 77,3 |
| 240 | 4 | 34,5 | 24,0 | 41,6 | 28,9 | 46,0 | 31,9 | 51,9 | 36,0 | 60,2 | 41,8 | 68,9 | 47,8 | 74,5 | 51,7 | 81,9 | 56,9 | 92,5 | 64,2 |
| 360 | 6 | 39,8 | 18,4 | 48,1 | 22,3 | 53,2 | 24,6 | 59,9 | 27,7 | 69,6 | 32,2 | 79,6 | 36,9 | 86,1 | 39,9 | 94,6 | 43,8 | 106,9 | 49,5 |
| 540 | 9 | 46,0 | 14,2 | 55,5 | 17,1 | 61,4 | 19,0 | 69,2 | 21,4 | 80,4 | 24,8 | 91,9 | 28,4 | 99,4 | 30,7 | 109,3 | 33,7 | 123,5 | 38,1 |
| 720 | 12 | 51,0 | 11,8 | 61,5 | 14,2 | 68,1 | 15,8 | 76,7 | 17,8 | 89,0 | 20,6 | 101,8 | 23,6 | 110,1 | 25,5 | 121,1 | 28,0 | 136,8 | 31,7 |
| 1080 | 18 | 58,9 | 9,1 | 71,1 | 11,0 | 78,6 | 12,1 | 88,5 | 13,7 | 102,8 | 15,9 | 117,6 | 18,1 | 127,2 | 19,6 | 139,9 | 21,6 | 158,0 | 24,4 |
| 1440 | 24 | 65,2 | 7,5 | 78,7 | 9,1 | 87,1 | 10,1 | 98,1 | 11,4 | 113,9 | 13,2 | 130,2 | 15,1 | 140,9 | 16,3 | 154,9 | 17,9 | 175,0 | 20,3 |
| 2880 | 48 | 83,4 | 4,8 | 100,7 | 5,8 | 111,4 | 6,4 | 125,5 | 7,3 | 145,7 | 8,4 | 166,6 | 9,6 | 180,3 | 10,4 | 198,2 | 11,5 | 223,9 | 13,0 |
| 4320 | 72 | 96,3 | 3,7 | 116,3 | 4,5 | 128,7 | 5,0 | 144,9 | 5,6 | 168,3 | 6,5 | 192,4 | 7,4 | 208,2 | 8,0 | 228,9 | 8,8 | 258,6 | 10,0 |
| 5760 | 96 | 106,7 | 3,1 | 128,8 | 3,7 | 142,5 | 4,1 | 160,5 | 4,6 | 186,4 | 5,4 | 213,1 | 6,2 | 230,6 | 6,7 | 253,5 | 7,3 | 286,4 | 8,3 |
| 7200 | 120 | 115,5 | 2,7 | 139,4 | 3,2 | 154,3 | 3,6 | 173,7 | 4,0 | 201,8 | 4,7 | 230,7 | 5,3 | 249,6 | 5,8 | 274,4 | 6,4 | 310,0 | 7,2 |
| 8640 | 144 | 123,2 | 2,4 | 148,8 | 2,9 | 164,6 | 3,2 | 185,3 | 3,6 | 215,3 | 4,2 | 246,1 | 4,7 | 266,3 | 5,1 | 292,8 | 5,6 | 330,8 | 6,4 |
| 10080 | 168 | 130,2 | 2,2 | 157,1 | 2,6 | 173,8 | 2,9 | 195,8 | 3,2 | 227,4 | 3,8 | 260,0 | 4,3 | 281,3 | 4,7 | 309,3 | 5,1 | 349,4 | 5,8 |

Starkniederschlagshöhen und -spenden gemäß KOSTRA-DWD-2020

Rasterfeld 217171

(Zeile 217, Spalte 171)

Örtliche Unsicherheiten in Abhängigkeit von Wiederkehrzeit T und Dauerstufe D

| Dauerstufe D | | Wiederkehrzeit T | | | | | | | | |
|--------------|-----|------------------|-----|-----|-----|------|------|------|------|-------|
| | | 1 a | 2 a | 3 a | 5 a | 10 a | 20 a | 30 a | 50 a | 100 a |
| min | Std | ± % | ± % | ± % | ± % | ± % | ± % | ± % | ± % | ± % |
| 5 | | 26 | 27 | 27 | 28 | 28 | 29 | 29 | 29 | 30 |
| 10 | | 28 | 29 | 30 | 30 | 31 | 31 | 32 | 32 | 32 |
| 15 | | 28 | 29 | 30 | 31 | 31 | 32 | 32 | 33 | 33 |
| 20 | | 28 | 29 | 30 | 31 | 31 | 32 | 32 | 32 | 33 |
| 30 | | 27 | 29 | 29 | 30 | 31 | 31 | 32 | 32 | 32 |
| 45 | | 26 | 27 | 28 | 29 | 30 | 30 | 30 | 31 | 31 |
| 60 | 1 | 25 | 26 | 27 | 28 | 28 | 29 | 29 | 30 | 30 |
| 90 | 1,5 | 23 | 25 | 25 | 26 | 27 | 27 | 28 | 28 | 28 |
| 120 | 2 | 22 | 23 | 24 | 25 | 25 | 26 | 26 | 27 | 27 |
| 180 | 3 | 20 | 21 | 22 | 23 | 23 | 24 | 24 | 25 | 25 |
| 240 | 4 | 19 | 20 | 21 | 21 | 22 | 23 | 23 | 23 | 24 |
| 360 | 6 | 18 | 19 | 19 | 20 | 20 | 21 | 21 | 21 | 22 |
| 540 | 9 | 16 | 17 | 18 | 18 | 19 | 19 | 19 | 20 | 20 |
| 720 | 12 | 16 | 16 | 17 | 17 | 18 | 18 | 19 | 19 | 19 |
| 1080 | 18 | 15 | 16 | 16 | 16 | 17 | 17 | 18 | 18 | 18 |
| 1440 | 24 | 15 | 16 | 16 | 16 | 17 | 17 | 17 | 17 | 18 |
| 2880 | 48 | 17 | 17 | 17 | 17 | 17 | 17 | 18 | 18 | 18 |
| 4320 | 72 | 19 | 18 | 18 | 18 | 18 | 18 | 18 | 19 | 19 |
| 5760 | 96 | 20 | 20 | 20 | 19 | 19 | 19 | 19 | 19 | 20 |
| 7200 | 120 | 22 | 21 | 21 | 20 | 20 | 20 | 20 | 20 | 20 |
| 8640 | 144 | 23 | 22 | 22 | 21 | 21 | 21 | 21 | 21 | 21 |
| 10080 | 168 | 24 | 23 | 22 | 22 | 22 | 22 | 22 | 22 | 22 |

Parameter für abweichende T und D

Lokationsparameter ξ (Xi)

21,1000193

Skalenparameter α (Alpha)

6,07745727

Formparameter κ (Kappa)

-0,1

1. Koutsoyiannis-Parameter θ (Theta)

0,00477968

2. Koutsoyiannis-Parameter η (Eta)

0,64477421

Parameter für dauerstufenübergreifende Extremwertschätzung nach KOUTSOYIANNIS et al. 1998.

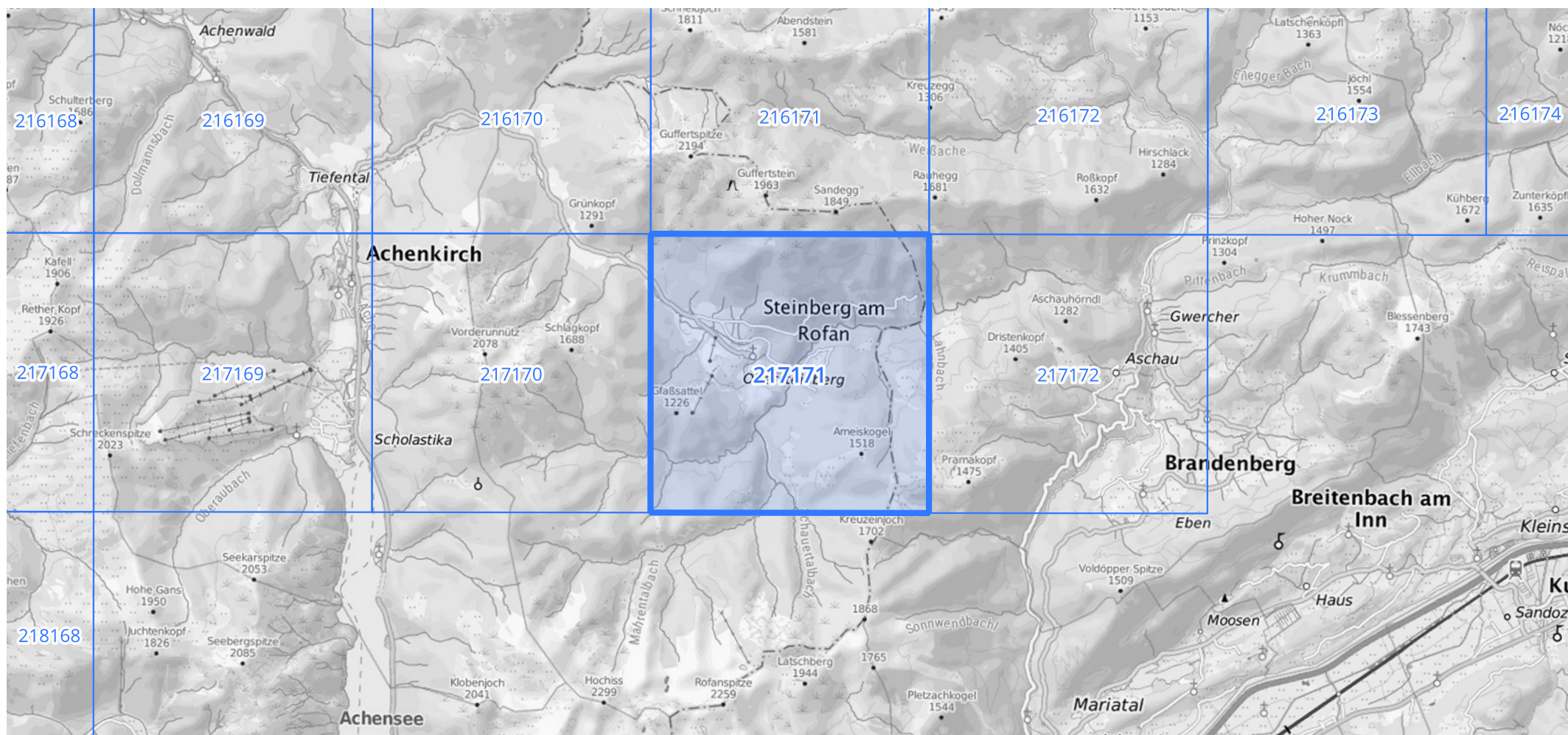
Siehe auch Anwendungshilfe zu KOSTRA-DWD-2020 des Deutschen Wetterdienstes.

Starkniederschlagshöhen und -spenden gemäß KOSTRA-DWD-2020

Rasterfeld 217171

(Zeile 217, Spalte 171)

Übersichtskarte des Rasterfeldes 217171, M 1 : 100 000



Quelle Rasterdaten: KOSTRA-DWD-2020 des Deutschen Wetterdienstes, Stand 12/2022.

Seite 3 von 3

Kartendarstellung: © Bundesamt für Kartographie und Geodäsie (2023), Datenquellen: https://sgx.geodatenzentrum.de/web_public/gdz/datenquellen/Datenquellen_TopPlusOpen.html

Für die Richtigkeit und Aktualität der Angaben wird keine Gewähr übernommen. Erstellt 01/2023.